

TDO1 – Optique ondulatoire – Superposition d'ondes lumineuses

0 Exercices classiques vus en cours :

A.3.c : Expression de la phase instantanée pour une onde monochromatique sphérique émise en O dans un milieu homogène

A.4 : Chemin optique entre points conjugués par un SO stigmatique indépendant du rayon considéré

A.5.b : Lien entre $\Delta\nu$ et $\Delta\lambda$ les largeurs spectrales en fréquence et en longueur d'onde – ODG de largeur spectrale, de temps et de longueur de cohérence.

B.3.a : Démonstration la formule de Fresnel pour deux ondes quasi-monochromatiques et cohérentes entre elles

B.3.b : Expression du déphasage en fonction de la différence de marche / de l'ordre d'interférences

B.4.b : Figure d'interférences contrastée pour superposition d'ondes d'intensités voisines

Capacités exigibles	Ch 01	Ex 1	Ex 2-4	TP 10B
Modèle de propagation dans l'approximation de l'optique géométrique. Utiliser une grandeur scalaire pour décrire un signal lumineux. Chemin optique. Déphasage dû à la propagation. Surfaces d'ondes. Théorème de Malus (admis). Exprimer le retard de phase en un point (par rapport à un autre) en fonction de la durée de propagation ou du chemin optique. Onde plane, onde sphérique ; effet d'une lentille mince dans l'approximation de Gauss. Associer une description de la formation des images en termes de rayon lumineux et en termes de surfaces d'onde. Utiliser la propriété énonçant que le chemin optique séparant deux points conjugués est indépendant du rayon de lumière choisi.	●		●	
Modèle d'émission. Relation (admise) entre le temps de cohérence et la largeur spectrale. Citer l'ordre de grandeur du temps de cohérence Δt de quelques radiations visibles. Utiliser la relation $\Delta f \cdot \Delta t \approx 1$ pour relier le temps de cohérence à la largeur spectrale $\Delta\lambda$ de la radiation.	●	●		
Récepteurs. Intensité de la lumière. Relier l'intensité à la moyenne temporelle du carré de la grandeur scalaire de l'optique. Citer l'ordre de grandeur du temps de réponse de quelques récepteurs de lumière. <i>Mettre en œuvre des expériences utilisant un capteur photographique numérique.</i>	●			●
Superposition de deux ondes incohérentes entre elles. Justifier et utiliser l'additivité des intensités.	●			
Superposition de deux ondes monochromatiques cohérentes entre elles : formule de Fresnel. Facteur de contraste. Citer les principales conditions pour que le phénomène d'interférences apparaisse (ondes quasi synchrones, déphasage constant dans le temps ou très lentement variable). Établir et utiliser la formule de Fresnel. Associer un bon contraste à des ondes d'intensités voisines.	●			●

MP2I : Image d'un objet - Stigmatisme approché. <u>Capacité numérique</u> : tester, à l'aide d'un langage de programmation, le stigmatisme approché d'une lentille demi-boule pour les rayons proches de l'axe optique.	ex 18
---	-------

1 Laser – fréquence, longueur d'onde, couleur et largeur spectrale

Un laser Hélium-Néon (HeNe) émet une onde lumineuse de longueur d'onde dans le vide 633 nm .

1) Calculer sa fréquence et sa longueur d'onde dans l'air puis dans l'eau. Quelle est la couleur correspondant à cette onde dans ces deux milieux ?

Ce laser a une largeur spectrale $\Delta\nu = 300 \text{ MHz}$.

2) Déterminer sa largeur spectrale $\Delta\lambda$, son temps et sa longueur de cohérence. En déduire le nombre moyen d'oscillations par train d'ondes.

Données : indices optiques : pour l'air $n_{\text{air}} = 1,0003$ et pour l'eau $n_{\text{eau}} = 1,33$.

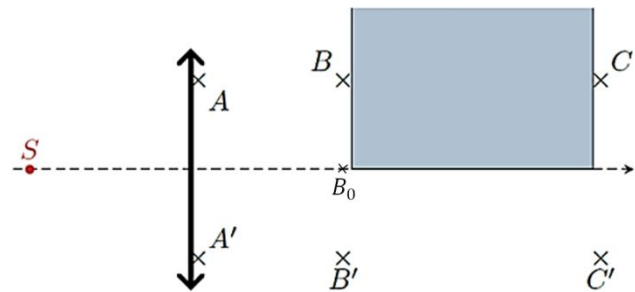
2 Chemins optiques, lentille mince et « lame de phase »

Un point source S est placé au foyer objet d'une lentille convergente. Une lame d'indice n et d'épaisseur e est placée à une distance d de la lentille et recouvre la moitié du faisceau. On prendra l'indice de l'air égal à

1) Tracer quelques rayons lumineux et quelques surfaces d'onde dans la zone située en amont des points B et B' .

2) Justifier que $(SB) = (SB_0)$. D'après la figure, ce résultat ne paraît pas être vérifié. Comment l'expliquer ?

3) On prend comme référence de phase $\phi(A) = 0$. Déterminer la phase au niveau des points A' , B , C et C' .



3 Chemin optique et loi de Snell-Descartes

Une onde plane arrive sous un angle d'incidence θ sur un dioptrre plan séparant deux milieux d'indice n et n' tel que $n' > n$. On suppose que l'onde transmise (ou onde réfractée) est plane également et se propage dans la direction θ' .

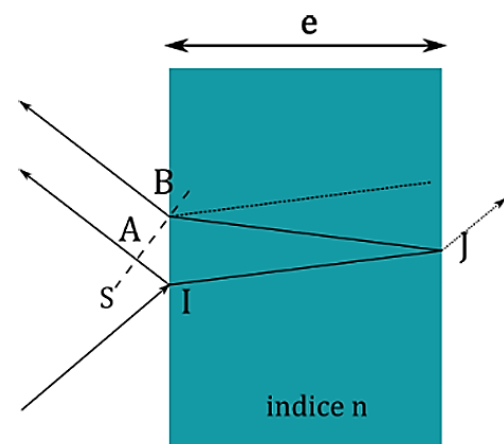
1) Faire un schéma représentant deux rayons incidents, les rayons réfractés associés, et des surfaces d'onde dans chacun des milieux. On notera A et B les points d'incidence des rayons sur le dioptrre.

2) Démontrer la loi de Descartes pour la réfraction en utilisant la notion de chemin optique.

4 Différence de marche avec lame de verre

Une source monochromatique de longueur d'onde dans le vide λ_0 émet un rayon lumineux qui arrive sur une lame de verre à faces parallèles d'épaisseur e et d'indice n . Il se forme un rayon réfléchi et un rayon est transmis dans le verre. Ce dernier donne naissance à son tour sur la face de sortie de la lame à une réfraction et une réflexion. On s'intéresse au rayon réfléchi qui va à son tour, en revenant sur la face d'entrée effectuer une réflexion et une réfraction.

Les points A et B appartiennent à un même plan (S) perpendiculaire aux deux rayons lumineux représentés ci-contre.



Donnée : La réflexion d'un rayon lumineux sur un dioptrre limitant deux milieux d'indice n et n' tel que $n' > n$ entraîne un déphasage de π alors que si $n' < n$ la réflexion n'entraîne pas de déphasage.

1) Exprimer la différence de chemins optiques $(IB) - (IA)$ en fonction des distances IJ, JB, IA et de l'indice n .

2) Dans le cas d'une incidence proche d'une incidence normale, déterminer une expression approchée de $(IB) - (IA)$.

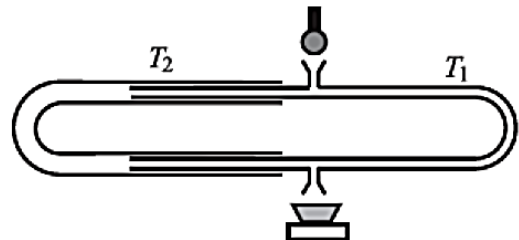
Phénomène d'interférences

5 Interférences d'ondes mécaniques : Trombone de Koenig

Un trombone de Koenig, représenté ci-contre, est destiné à mesurer la célérité du son dans l'air. Le tube T_2 peut coulisser par rapport au tube T_1 fixe.

D'un côté du trombone, on crée un son de fréquence $f = 1500$ Hz à l'aide d'un haut-parleur alimenté par un GBF et on récupère le signal de l'autre côté du trombone avec un microphone branché sur un oscilloscope.

1. Lorsque l'on fait coulisser le tube T_2 par rapport au tube T_1 , pourquoi observe-t-on des variations de l'amplitude du signal à l'oscilloscope ?
2. Entre deux minima d'intensité du signal reçu, on a fait coulisser T_2 d'une distance $d = 11,5\text{ cm} \pm 2\text{ mm}$. En déduire la célérité du son dans l'air contenu dans le trombone.



Formation des images

◆ CONVENTIONS pour les SCHEMAS d'OPTIQUE :

Le **sens** de propagation de la lumière est indiqué sur les rayons par une **flèche**.

Les **rayons** lumineux sont tracés en trait **plein** : ils indiquent le trajet réellement suivi par la lumière. Les **prolongements** des rayons lumineux sont représentés en **pointillés** : c'est un trajet « virtuel ».

Pour différencier les rayons, il est recommandé de les tracer avec des **couleurs** différentes.

 **TOUS LES RAYONS SERONT TRACÉS AVEC UNE RÈGLE !**

◆ Relations de conjugaison

avec origine au centre (Descartes) :

$$\frac{1}{OA'} - \frac{1}{OA} = \frac{1}{f'}$$

avec origine aux foyers (Newton) :

$$\overline{FA} \cdot \overline{F'A'} = -f'^2$$

◆ Expressions du grandissement transversal :

$$\gamma = \frac{\overline{OA'}}{\overline{OA}} = \frac{-f}{\overline{FA}} = \frac{-\overline{F'A'}}{f'}$$

◆ Méthodes

Position du problème :

Soit un rayon incident (R) qui frappe une lentille, on souhaite tracer le rayon émergent correspondant.

Méthode 1



Construction d'un rayon émergent

- ① Tracer le rayon *auxiliaire* (Ra) parallèle au rayon (R) et passant par le centre O.
- ② (Ra) n'est pas dévié par la lentille : repérer le foyer image secondaire B', intersection de (Ra) et du plan focal image.
- ③ Le rayon émergent correspondant à (R) passe par B'.

→ Cf ex 9

Position du problème :

Soit un objet AB perpendiculaire à l'axe optique (Δ) avec A sur (Δ) et B hors de (Δ). On souhaite construire son image $A'B'$ par une lentille (L).

Méthode 2



Construction de l'image $A'B'$ d'un objet AB

- ① Le SO étant **aplanétique**, $A'B'$ est perpendiculaire à l'**axe optique (Δ)** :
On construit d'abord B' l'image de B hors de l'axe et on en déduit A' qui correspond au projeté orthogonal de B' sur (Δ).
② Le SO étant **stigmatique**, il faut et il suffit deux rayons issus de B pour construire B' :
On choisit ces deux rayons parmi les **3 rayons particuliers** suivants :
♦ le rayon issu de B et **passant par le centre optique O** n'est pas dévié par (L) ;
♦ le rayon issu de B et **parallèle à (Δ)** ressort de (L) en passant par le foyer image F' ;
♦ le rayon issu de B et **passant par le foyer objet F** ressort de (L) parallèle à (Δ).

Rq : Pour construire l'image A' d'un point objet A situé sur l'axe optique, il faut introduire un point objet auxiliaire B tel que AB est orthogonal à (Δ). Construire l'image B' de B puis en déduire A' d'après ①.

→ Cf ex 10

Position du problème : On étudie un système optique complexe (microscope, lunette...) i.e. composé de plusieurs systèmes optiques élémentaires (miroirs, lentilles)

Méthode 3.1



S'approprier / Analyser un SO complexe

- ① Faire un **schéma de principe** du dispositif sous la forme d'un « triangle » :
Avec A l'objet de départ, A' l'image finale et $A_1, A_2 \dots$ la (ou les) image(s) intermédiaire(s).
② Identifier certaines images intermédiaires en utilisant les **définitions « schématiques » des foyers objet et image.**

Méthode 3.2



Construire l'image A' d'un objet A , situé sur l'axe optique, par un SO complexe

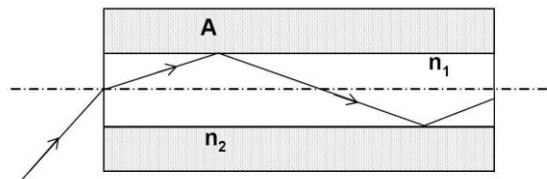
- ① Faire un **schéma** du dispositif étudié, si possible à l'échelle :
- représenter l'**axe optique orienté** ;
- placer le **centre optique et les foyers** de chaque lentille ;
- selon les données, placer sur l'axe optique l'objet A et / ou l'image finale A' et / ou l'image intermédiaire A_1 .
② Introduire un **point objet auxiliaire B** tel que **AB soit orthogonal à l'axe optique** (cf méthode 2).
③ Pour effectuer le **tracé de rayons**, il faut procéder **par étapes** :
Tracer les rayons incidents issus de l'objet de départ B et les rayons émergents correspondant sortant de la 1^e lentille afin d'obtenir la 1^e image intermédiaire B_1 .
Tracer les rayons incidents issus de B_1 et les rayons émergents correspondant sortant de la 2^e lentille afin d'obtenir l'image suivante B_2
Pour chaque étape :
♦ Si l'objet **AB est à distance finie**, on applique la méthode 2
♦ Si l'objet **AB est à l'infini** :
L'image B_i de B par la lentille (L_i) sera située dans le **Plan Focal Image** de (L_i) : B_i est l'intersection du PFI avec le rayon passant par le centre optique O_i de (L_i).
On considère ensuite un 2^e rayon incident, parallèle au 1^{er} et qui émerge de (L_i) en passant par B_i d'après la **propriété de stigmatisme**.

→ Cf ex 12 à 16

6 Fibre optique (Questions de cours)

Une fibre optique est constituée d'un cœur cylindrique d'indice $n_1 = 1,5$ entourée d'une gaine cylindrique coaxiale d'indice $n_2 = 1,4$. On suppose que les dimensions de la fibre sont telles que les lois de l'optique géométrique sont applicables.

1. Etablir l'expression du cône d'acceptance.
2. Etablir l'expression de la dispersion intermodale.



7 Stigmatisme approché d'une lentille demi-boule

Le modèle des lentilles minces est une approximation des résultats de l'optique géométrique, qui reste valable tant que certaines conditions sont vérifiées. On souhaite explorer les limites de ce modèle à l'aide d'une simulation numérique

On considère une lentille demi-boule, de rayon R , éclairée par un point objet situé à l'infini sur l'axe optique de la lentille qui émet donc un faisceau de rayons lumineux parallèles à l'axe optique.

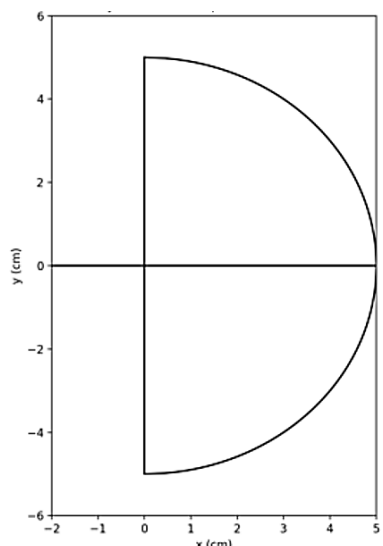
Pour la figure ci-contre, le point objet est situé à gauche de la lentille.

La lentille est constituée d'un verre d'indice de réfraction n .

On travaillera avec des angles orientés avec la convention suivante : angle compté positivement si orienté dans le sens trigonométrique.

Données : $n = 1,5$ et $R = 5,0 \text{ cm}$.

- 1) Reproduire la figure, tracer la marche d'un rayon lumineux et repérer :
 - I le point d'incidence sur le dioptre verre \rightarrow air, la normale à ce dioptre en I , i l'angle d'incidence et r l'angle de réfraction.
- 2) On note (x_I, y_I) les coordonnées du point I . Exprimer i puis x_I en fonction de y_I et de R .
- 3) Exprimer r en fonction de i , puis de y_I .
- 4) Justifier que le rayon réfracté n'existe que si $|i| < i_{lim}$, préciser l'expression et la valeur de i_{lim} ainsi que l'expression de y_{lim} correspondante.
- 5) Exprimer l'angle de déviation D entre le rayon incident et le rayon réfracté.
- 6) On considère le rayon réfracté en I . Soit un point M quelconque de ce rayon d'abscisse x . Exprimer l'ordonnée y de ce point en fonction de x, x_I, y_I, r et i .
- 7) A partir de ces résultats, compléter le programme disponible sur Cahier de Prépa pour simuler la marche des rayons lumineux au travers de la lentille demi-boule.
- 8) Commenter les figures obtenues en discutant du caractère stigmatique de la lentille demi-boule.



8 Déviation due à un prisme

Un **prisme** est un milieu transparent, homogène, isotrope et **dispersif** : son indice de réfraction n dépend de la longueur d'onde. En pratique, le prisme est en verre.

L'intérêt d'un prisme est de disperser la lumière, ce qui permet de faire de la **SPECTROMETRIE** i.e. d'étudier le spectre d'une source de lumière.

Dans la suite, on s'intéressera à la propagation d'une lumière **monochromatique** dans le prisme, ainsi n sera fixé.

En figure 1, on a représenté le prisme « entier ». En pratique, la lumière incidente vient frapper les dioptres plans $MPP'M'$ et $NPP'N'$. Cependant, usuellement, on représente seulement la face MNP du prisme (ou une coupe du prisme par un plan horizontal), cf figure 2. On nommera alors les dioptres (PM) et (PN) . On définit l'**angle au sommet A** comme l'angle existant entre les deux dioptres plans et le côté (MN) sera nommé « **base** ».

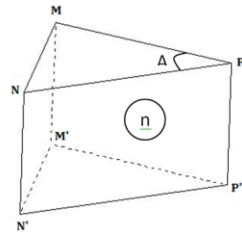


Figure 1

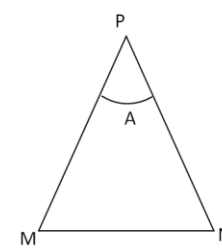


Figure 2

Rq : cf <https://phyanim.sciences.univ-nantes.fr/optiqueGeo/prisme/prisme.php> pour illustrer le trajet des rayons au sein du prisme.

Un rayon incident frappe le dioptre (PM) et on s'intéresse au rayon émergent, sortant du dioptre (PN) du prisme (cf figure 3).

Rq : les angles i et r sont orientés de la normale vers le rayon alors que les angles i' et r' sont orientés du rayon vers la normale. Cependant l'écriture de la loi de Descartes entre i' et r' est inchangée puisque la convention d'orientation de i' et r' est la même.

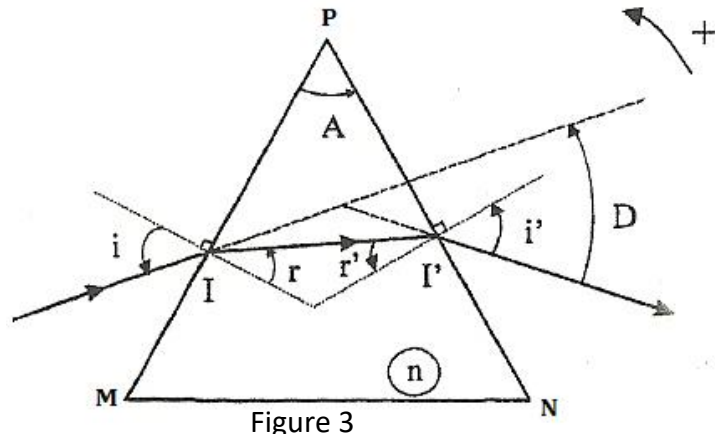


Figure 3

- Etablir la relation entre i , r et n .
- Etablir la relation entre i' , r' et n .
- Etablir la relation entre r , r' et A .

L'angle de déviation, noté D , représente l'angle entre le rayon émergent et le prolongement du rayon incident sur le prisme (orienté du rayon émergent vers le rayon incident). (cf figure 3)

- Etablir la relation entre D , i , i' , r et r' puis entre D , i , i' et A .

On se place dans le cas où le rayon émerge du dioptre (PN) . On cherche l'angle d'incidence i qui correspond à un extremum de D .

- En dérivant successivement chacune des 4 relations précédentes par rapport à i , montrer que

$$\frac{dD}{di} = 1 - \frac{\cos(i) \cdot \cos(r')}{\cos(i') \cdot \cos(r)}$$

3. Quelle équation faut-il résoudre pour trouver un extremum de D ? En déduire que D est extrémal quand $i = i'$ (et donc $r = r'$). On admettra que l'extremum est un minimum (cf simulation). Donner alors le tableau de variations de $D(i)$.
4. Déterminer la valeur de la déviation minimale D_m en fonction de A et de n .
5. Montrer que l'indice de réfraction n du prisme s'exprime en fonction de D_m et de A sous la forme :

$$n = \frac{\sin\left(\frac{D_m + A}{2}\right)}{\sin\left(\frac{A}{2}\right)}$$

Conclusion : la connaissance du minimum de déviation permet de déterminer la valeur de l'indice n d'un prisme, connaissant l'angle au sommet A .

6. On mesure $A = 60^\circ 03'$; $D_m = 38^\circ 43'$. Calculer l'indice n .
7. La précision des mesures pour A et D_m est de $2'$ d'arc. Pour déterminer l'incertitude-type sur n , on utilise le programme Python ci-dessous. Justifier ce code en le commentant.

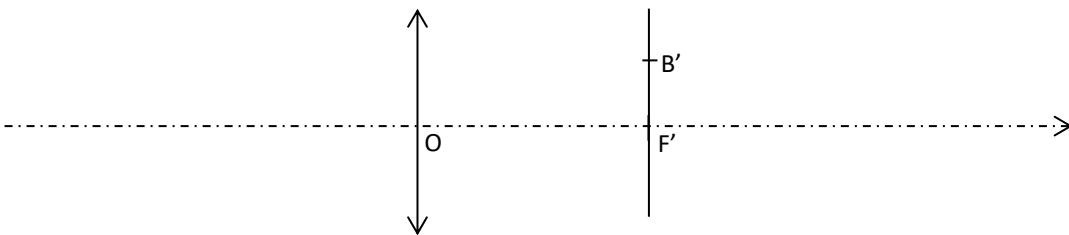
```

1  import numpy as np
2  import matplotlib.pyplot as plt
3
4  A = (60+3/60)*np.pi/180
5  Dm = (38+43/60)*np.pi/180
6  DeltaAD = 2/60*np.pi/180
7
8  def x(y,z):
9      return (np.sin((y+z)/2)/np.sin(y/2))
10
11 N = 1000
12 lst_n = []
13 for i in range(N):
14     lst_A = np.random.uniform(A-DeltaAD,A+DeltaAD)
15     lst_Dm = np.random.uniform(Dm-DeltaAD,Dm+DeltaAD)
16     lst_n.append(x(lst_A,lst_Dm))
17
18 print("indice n =", np.mean(lst_n))
19 print("incertitude-type sur l'indice u(n) =", np.std(lst_n,ddof=1))
20
21 plt.hist(lst_n,bins='rice')
22 plt.xlabel("n")
23 plt.show()

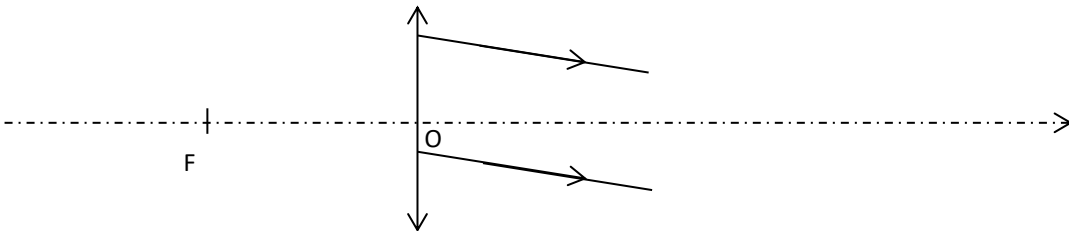
```

9 Foyers secondaires

1) Déterminer la direction des rayons issus d'un point source B dont l'image par la lentille est B'.

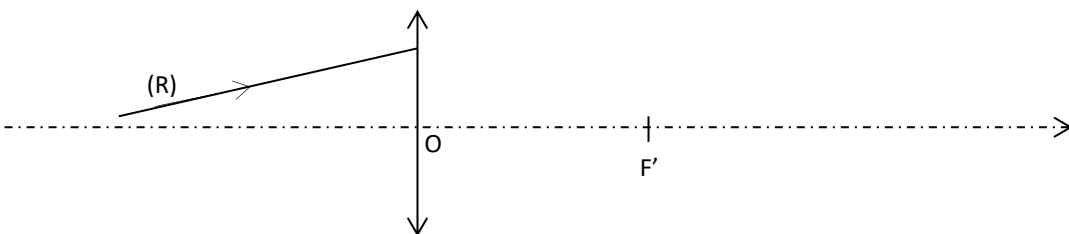


2) Déterminer le foyer objet secondaire dont sont issus les deux rayons émergents suivants :



10 Construction d'un rayon émergent (cf méthode 1)

➲ Tracer le rayon émergent de la lentille correspondant au rayon incident.



11 Confrontation résultats graphique et analytique (cf méthode 2)

On considère une lentille mince de distance focale image -10 cm . Un objet réel AB est situé à 15 cm d'elle.

1) Construire géométriquement l'image de cet objet par la lentille.

2) Donner les caractéristiques de cette image.

3) Retrouver ces résultats analytiquement.

12 Caractéristiques d'un œil emmétrope

On s'intéresse à un œil emmétrope tel que la distance entre le cristallin et la rétine vaut $d' = 12,0 \text{ mm}$.

Cet œil voit nettement un objet de taille $t = 45 \text{ cm}$ situé devant lui à $d = 80,0 \text{ cm}$ du cristallin.

1. Déterminer la vergence du cristallin pour cette situation. Commenter.

2.a) Quel est l'ordre de grandeur de la limite de résolution angulaire d'un œil emmétrope ?

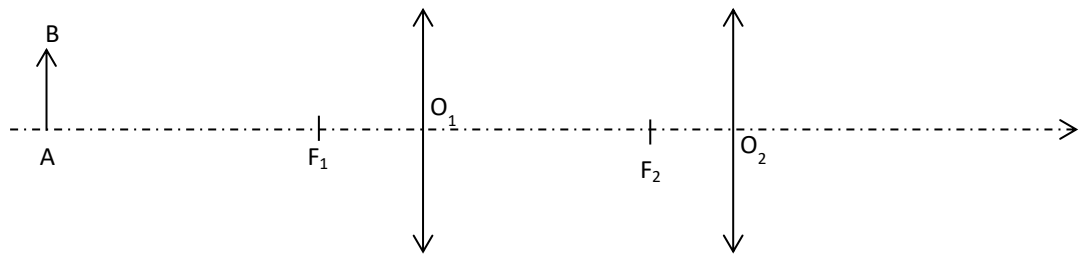
2.b) En déduire l'ordre de grandeur de la taille d'un photorécepteur rétinien.

Alpha Centauri A et Alpha Centauri B sont deux étoiles qui forment une étoile double. Elles sont situées à une distance $L \approx 4,37 \text{ a.l.}$ de la Terre. Elles orbitent l'une autour de l'autre en 80 ans, leur éloignement variant de 11,2 à 35,6 UA.

2.c) Est-il possible de distinguer ces deux étoiles à l'œil nu ?

Données : $1 \text{ a.l.} = 9,46 \cdot 10^{15} \text{ m}$; $1 \text{ UA} = 1,50 \cdot 10^{11} \text{ m}$

13 Construction de l'image d'un objet par un système de 2 lentilles (cf méthode 3.2)



➲ Sur la figure ci-dessus, construire l'image de l'objet AB par le système optique formé des lentilles (L_1) et (L_2).

14 Caractéristiques d'une lentille

Un système optique centré (S) donne d'un objet réel AB une image réelle $A'B'$ située sur un écran perpendiculaire à l'axe optique. On intercale une lentille (L) entre (S) et l'écran. On obtient une image deux fois plus grande et de même sens sur l'écran qu'il a fallu reculer de $d = 20\text{ cm}$.

➲ Déterminer la nature de la lentille (L), sa position et sa distance focale.

15 Correction d'un œil myope

On considère deux lentilles L_1 et L_2 accolées, c'est-à-dire qu'on suppose qu'elles ont le même centre optique O et le même axe optique. On note v_1 (resp v_2) la vergence de L_1 (resp L_2).

1) Déterminer la relation de conjugaison de l'ensemble des deux lentilles accolées i.e. le lien entre la position de A (objet de L_1) et A'' (image finale formée par L_2). En déduire la vergence $v_{\text{éq}}$ de la lentille équivalente à l'ensemble $\{L_1 + L_2\}$.

2) On considère un œil myope tel que son punctum remotum est situé à 10 cm de la face avant de l'œil et la distance entre le cristallin et la rétine est de 22 mm. Quelle est la distance focale des lentilles de contact permettant la correction de cet œil ?

16 Lunette astronomique et lunette de Galilée

Ces lunettes sont destinées à l'observation, à l'œil, d'objets lointains. Ces instruments d'optique **visent à augmenter la taille apparente et la luminosité des objets** lors de leur observation.

Ces lunettes donnent une **image finale à l'infini** que l'œil emmétrope observe sans fatigue visuelle. Or l'objet observé est lui-même à l'infini, ces lunettes sont donc **afocales**.

On appelle AB l'objet observé, A à l'infini sur l'axe optique et B à l'infini hors de l'axe, et on note A''B'' l'image de AB par la lunette.

Une lunette est constituée :

- D'un objectif (L1) donnant de l'objet AB une image intermédiaire A'B' ;
- D'un oculaire (L2) donnant de l'objet A'B' l'image finale A''B'' à l'infini.

Lunette	Astronomique	De Galilée
Objectif	Lentille convergente	Lentille convergente
Oculaire	Lentille convergente	Lentille divergente

1. Déduire des positions de l'objet AB et de l'image finale A''B'', la contrainte imposée aux positions des foyers de chaque lentille. Faire un schéma de chaque lunette puis donner l'expression de la distance entre les deux centres optiques O_1O_2 en fonction des données.

2. Tracer la marche de deux rayons issus de B au travers de chaque lunette.

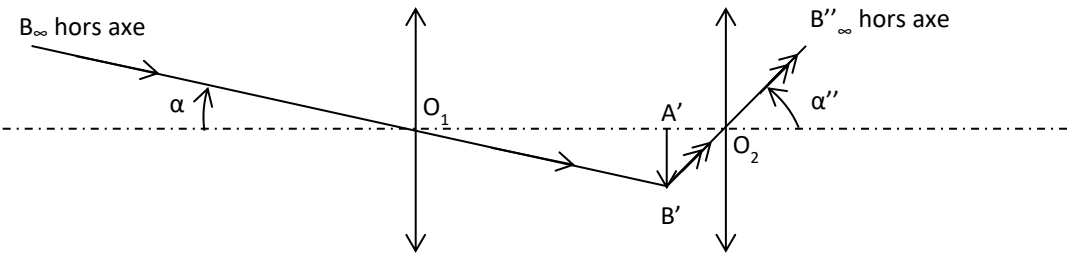
3. D'après la construction précédente, préciser le sens de l'image finale A''B'' avec chaque lunette.

La principale caractéristique d'une lunette est son grossissement :

$$G = \frac{\alpha''}{\alpha}$$

Avec α l'angle orienté d'inclinaison des rayons incidents issus de B par rapport à l'axe optique ; et α'' l'angle orienté d'inclinaison des rayons émergents de la lunette, donnant B'', par rapport à l'axe optique.

Les angles orientés α et α'' sont définis sur la figure ci-dessous (lunette astronomique).



4. Dans les conditions de Gauss, montrer que : $G = -\frac{f_1'}{f_2'}$. Quelle inégalité les distances focales des lentilles (L1) et (L2) doivent-elles vérifier ?

Rq : L'objet AB et l'image finale A''B'' étant à l'infini, on ne peut pas caractériser la lunette par son grossissement : $\gamma = \frac{A''B''}{AB}$

17 Focométrie & Instruments d'optique : cf TP10A

Données

Appareil photographique d'un téléphone portable

Résolution du capteur	4000×3000 pixels
Nombre d'ouverture	$N = 2,2$
Diagonale du capteur	1/3 de pouce
Indice de réfraction de l'air	$n_{\text{air}} = 1,0$
Indice de réfraction de la lentille	$n = 1,52$
Rayon de courbure de la lentille	$R = 4,0$ mm
Diamètre réel la lentille	$\Phi = 5,0$ mm
Distance focale effective de l'objectif	$f' = 9,0$ mm

Propriétés de l'œil humain

Distance normale d'observation d'un téléphone portable	30 cm
Pouvoir de résolution d'un œil « normal »	$\alpha = 3,0 \times 10^{-4}$ rad

Conversions d'unités

$$1 \text{ pouce} = 25,4 \text{ mm}$$

I Étude du module photographique d'un smartphone

I.A – Etude du capteur de l'appareil photographique

On considère dans un premier temps les paramètres géométriques du capteur principal, afin de vérifier si le phénomène de diffraction dégrade ou non l'image formée sur le capteur. Tous les pixels considérés sont carrés.

Q 1. À partir des données du téléphone portable fournies dans le document réponse, déterminer la longueur et la largeur du capteur de ce téléphone. En déduire la taille approximative d'un pixel du capteur.

Le nombre d'ouverture N de l'appareil photographique est défini par la formule ci-après, où D est le diamètre de l'ouverture et f' la distance focale de l'objectif,

$$N = \frac{f'}{D}.$$

Q 2. Après avoir justifié la longueur d'onde lumineuse choisie, déterminer la taille caractéristique de la tache de diffraction visible sur le capteur si l'objectif est éclairé par un « point unique » situé à l'infini.

Q 3. Proposer une justification au choix de l'entreprise de configurer par défaut la prise d'image en full HD (1920×1080 pixels) au lieu de la résolution 4K (3840×2160 pixels).

I.B – Étude des aberrations géométriques dues à la lentille de l'appareil photographique

La lentille de forme plano-convexe est constituée de silice fondu associée à du quartz. On peut la modéliser dans un premier temps comme une demi-boule de rayon de courbure R et d'indice de réfraction n , plongée dans l'air dont l'indice de réfraction est pris égal à 1. Un faisceau lumineux cylindrique, de rayon $r_m < R$, arrive sous incidence normale sur la face plane de cette lentille. On note C l'intersection de la face plane de la demi-boule avec l'axe optique (Ox) et S l'intersection de la face hémisphérique avec ce même axe.

On s'intéresse au rayon lumineux incident qui arrive parallèle à l'axe optique et à une distance r de cet axe.

I.B.1) Condition de traversée de la lentille

Q 4. Compléter sur la figure A du document réponse le trajet de ce rayon lumineux lors de son passage à travers la lentille. On notera i l'angle incident sur le dioptre verre-air et t l'angle réfracté correspondant. Déterminer l'expression de r_0 , valeur limite du rayon du faisceau si l'on souhaite que tous les rayons incidents émergent de la lentille. Calculer numériquement la valeur de r_0 . En réalité, le constructeur a choisi un diamètre de la lentille $\Phi = 5,0$ mm. Justifier ce choix.

I.B.2) Étude des rayons proches de l'axe optique

Q 5. On note A' la position de l'intersection du rayon incident avec l'axe optique après son passage au travers de la lentille. Montrer que la distance algébrique $\overline{CA'}$ vérifie

$$\overline{CA'} = R \cos i + \frac{R \sin i}{\tan(t - i)}.$$

Q 6. En déduire, en fonction de R et n , l'expression de la limite $\overline{CF'}$ de $\overline{CA'}$ lorsque la distance r tend vers 0. Calculer numériquement $\overline{CF'}$.

Q 7. Dans quelle condition peut-on considérer que le point F' est stigmatiquement conjugué d'un point source situé à l'infini sur l'axe ? Comment peut-on nommer le point F' ?

I.B.3) Étude de l'aberration sphérique de la lentille

Le capteur de l'appareil photographique est placé dans le plan focal image de la lentille (figure 3). On s'intéresse à présent au rayon lumineux qui arrive parallèle à l'axe optique à la distance $r = r_0$ de l'axe (question 4).

Q 8. Déterminer numériquement la distance TSA (*transversal spherical aberration*) entre F' et le point où ce rayon extrême rencontre le capteur. Un schéma faisant apparaître la distance TSA est attendu. Comparer la distance TSA à la taille de la tache de diffraction obtenue en question 2 et à la dimension d'un pixel. Conclure sur l'adéquation de cette lentille au téléphone portable considéré.

I.B.4) Détermination du profil d'une lentille asphérique

On souhaite modifier le profil de la surface courbe de la lentille afin que tous les rayons incidents parallèles à l'axe Ox convergent au même point F' , comme indiqué en figure 4. La lentille obtenue est dite asphérique.

Pour déterminer le profil de la lentille, il est commode d'adopter une approche ondulatoire en imaginant une onde plane incidente se propageant parallèlement à l'axe Ox venant frapper la face plane de la lentille. Après celle-ci, l'onde convergera au point F' si, depuis la source, les chemins optiques associés à tous les rayons traversant la lentille et parvenant en F' sont identiques.

Question 4

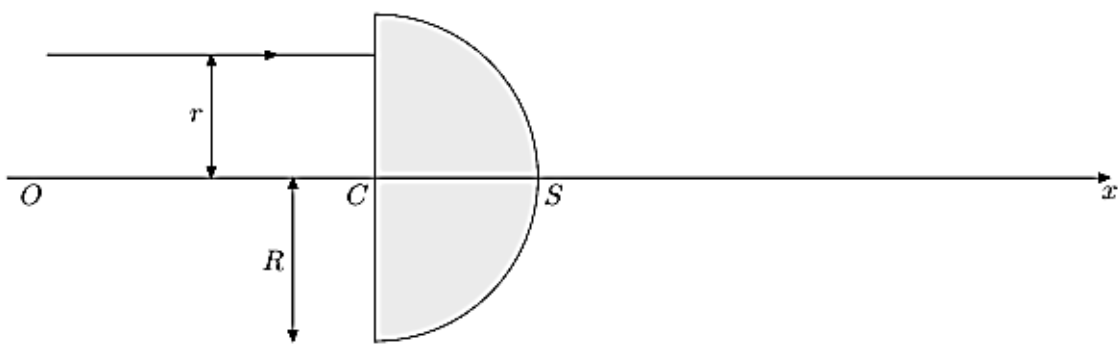


Figure A Modèle de la lentille demi-boule

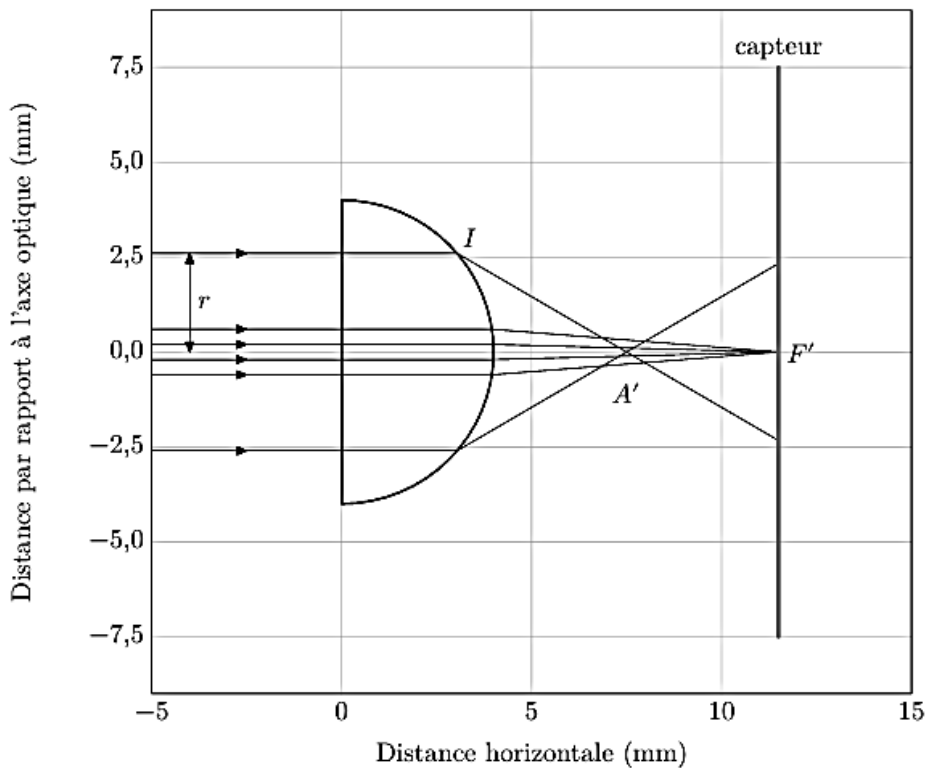


Figure 3 Aberration sphérique

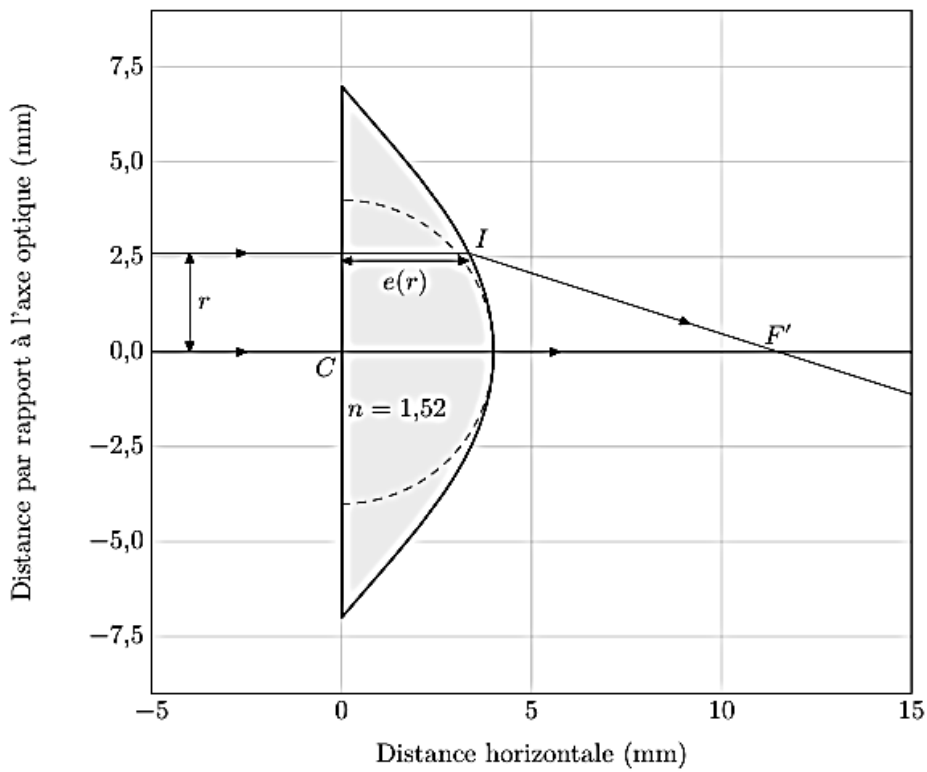


Figure 4 Lentille asphérique

Q 9. Montrer que l'épaisseur $e(r)$ de la lentille à la distance r de l'axe doit vérifier

$$ne(r) + \sqrt{r^2 + \left(\frac{nR}{n-1} - e(r) \right)^2} = nR + \frac{R}{n-1}.$$

Q 10. Exprimer le rapport $e(r)/R$ lorsque $r \ll R$. Montrer qu'alors le profil de la lentille asphérique est pratiquement confondu avec celui de la lentille demi-boule.

Quand on résout cette expression pour $e(r)$, grâce à une méthode numérique par exemple, on peut tracer le profil en figure 4.